

Unitaritätsgrenze

Fermi-Modell ist sehr erfolgreich: beschreibt fast alle schwachen Zerfälle.
Es gibt jedoch theoretische Argumente, die seine Grenzen aufzeigen:

(a) betrachte z.B. $\bar{\nu}_e e^- \rightarrow \bar{\nu}_e e^-$ - Streuung an CNS.

$$s = (q_1 + q_2)^2 \quad ; \quad \text{Frage: Wirkungsquerschnitt } \sigma(s) \text{ für große } s?$$

dimensionale Analyse:

$$M \text{ hat } G_F \approx 1.16 \cdot 10^{-5} \text{ GeV}^{-2} \Rightarrow |M|^2 \text{ hat } G_F^2$$

$$[\sigma] = [\text{Fläche}] = [\text{fm}^2] = [\text{GeV}^{-2}]$$

$$\text{für } s \gg m_e^2 \text{ gibt es keine anderen Skalen} \Rightarrow \underline{\sigma \sim G_F^2 s}$$

$$\left(\text{die genaue Antwort ist } \sigma = \frac{G_F^2 s}{3} \right)$$

dieses Verhalten $\sigma(s \gg m_e) \sim s$ kann aber nicht richtig sein:

betrachte Streumatrix (vgl. §3, S. 25, 26, 29)

$$\hat{S} \equiv \hat{U}_S(+\infty, -\infty) \equiv \mathbb{1} - i \hat{T}$$

\uparrow Zeitentwicklungs-Op. \uparrow Transf. matrix

$$\langle f | \hat{T} | i \rangle \equiv (2\pi)^4 \delta^{(4)}(p_f + p_2 - q_1 - q_2) T_{fi}$$

Gesamtunitarität bleibt erhalten $\Leftrightarrow \hat{S}$ unitar $\Leftrightarrow \hat{S}^\dagger \hat{S} = \mathbb{1}$

$$\Leftrightarrow (\mathbb{1} + i \hat{T}^\dagger)(\mathbb{1} - i \hat{T}) = \mathbb{1} \quad \Leftrightarrow \hat{T}^\dagger \hat{T} = i(\hat{T} - \hat{T}^\dagger)$$

$$\text{also ist } i \langle f | \hat{T} - \hat{T}^\dagger | i \rangle = \langle f | \hat{T}^\dagger \hat{T} | i \rangle \\ = \sum_n \langle f | \hat{T}^\dagger | n \rangle \langle n | \hat{T} | i \rangle$$

$$\text{bzw. } i (2\pi)^4 \delta^{(4)}(\Sigma p_f - \Sigma q_i) [T_{fi} - T_{if}^*] = \sum_n (2\pi)^4 \delta^{(4)}(\Sigma p_f - \Sigma p_n) T_{nf}^* \cdot \\ \cdot (2\pi)^4 \delta^{(4)}(\Sigma p_n - \Sigma q_i) T_{ni}$$

$$\Leftrightarrow i [T_{fi} - T_{if}^*] = \sum_n (2\pi)^4 \delta^{(4)}(\Sigma p_n - \Sigma q_i) T_{nf}^* T_{ni}$$

Wir wissen (s. z.B. S. 29), daß $T_{fi} \sim M$ ist; nach Phasenraum int.
sagt diese Formel also etwas über das Verhalten von σ aus.

eine genauere Analyse ist komplizierter; "Froissart-Grenze"

Resultat: σ kann für große s höchstens logarithmisch wachsen.

⇒ lineares Wachstum, wie oben per den. Analyse hergeleitet, verletzt Unitarität, also Wahrscheinlichkeitserhaltung!

(b) ein anderes Argument ist die sog. "Renormierbarkeit" (s. später).

Resultat: Fermi-Modell kann nur für $s \ll G_F^{-1}$ richtig sein.

⇒ Fermi-Modell ist keine komplette Theorie der schwachen W's!

W[±]-Teilchen

die Lösung der Situation ist genial [O. Klein 1938]:

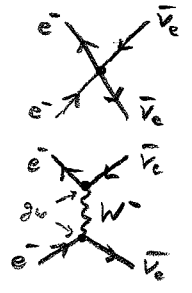
definiere $G_F = i \frac{g_w^2}{4\sqrt{2} m_w^2}$, g_w, m_w erstmal unbekannt

def $J_+^\mu = \sum_{\hat{D}_L} \hat{D}_L \begin{pmatrix} 0 \\ \gamma^\mu \\ 0 \end{pmatrix} \hat{D}_L$, $(J_+^\mu)^\dagger = \sum_{\hat{D}_L} \hat{D}_L \begin{pmatrix} 0 & \gamma^\mu \\ 0 & 0 \end{pmatrix} \hat{D}_L$

dann ist das Fermi-Modell $\mathcal{L}_I = -\frac{g_w^2}{2} J_+^\mu \frac{g_{\mu\nu}}{m_w^2} (J_+^\nu)^\dagger$

ersetze dies durch $\mathcal{L}_I = i \frac{g_w^2}{2} J_+^\mu \frac{i}{s - m_w^2} (-g_{\mu\nu}) (J_+^\nu)^\dagger$

wie Photon-Propagator, aber mit Plasse!



Relevanz: für $s \ll m_w^2$ ändert sich nichts

aber für $s \gg m_w^2$ wird $\sigma_{tot} = \frac{G_F^2 s}{3\pi} \cdot \left(\frac{m_w^2}{s - m_w^2}\right)^2 \approx \frac{G_F^2 m_w^4}{3\pi s}$

⇒ Problem durch Einführung neuer Teilchen gelöst!

diese neuen T. (W⁻ und sein Antiteilchen W⁺) haben Masse m_w und el. Ladung ($\pm e$)

die oben def. Objekte J_+^μ heißen "geladene Ströme"

Experiment?! W[±]-Teilchen 1983 am CERN entdeckt.

Masse $m_w = 80.398 \pm 0.025$ GeV

Bezeichnung: manchmal als "intermediäre Vektorbosonen"

Z⁰-Teilchen

das Problem mit $\bar{\nu}_e e^- \rightarrow \bar{\nu}_e e^-$ ist durch W^\pm gelöst.

es gibt andere Prozesse, die in völliger Analogie dazu einen ungeladenen Partner der W 's, das Z^0 [S. Bludman 1958]

und "neutrale Ströme"
$$j_0^\mu = \sum_D \hat{D} \left(c_V^\nu \gamma^\mu + c_A^\nu \gamma^\mu \gamma^5 \right) \hat{D}^\dagger$$

benötigen.

((nicht mehr reines "V-A"; $c_{V/A}^{\nu d}$ numerische Koeff's, s. später))

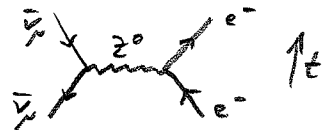
$$\Rightarrow \hat{Y}_Z \equiv i \frac{g_w^2}{2} j_0^\mu \frac{i}{s - m_Z^2} (-g_{\mu\nu}) j_0^\nu$$

$$m_Z = 91.1876 \pm 0.0021 \text{ GeV} \quad [\text{CERN, 1983}]$$

Bsp 1

Neutrinos haben jetzt auch direkte LW

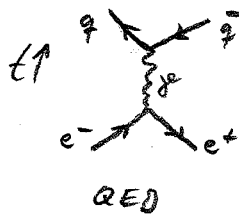
z.B. ist $\bar{\nu}_\mu e^- \rightarrow \bar{\nu}_\mu e^-$ möglich



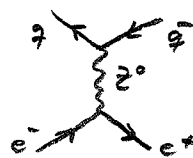
((exp. Nachweis der neutralen Ströme, CERN 1973, durch diesen Prozess))

Bsp 2

$e^+ e^- \rightarrow$ Hadronen (vgl. §5) bekommt zusätzliche Beitrag:



S. 44: $\sigma \sim \frac{1}{s}$



so: $\sigma \sim \frac{s}{(s - m_Z^2)^2} \rightarrow \infty$ für $s \rightarrow m_Z^2$!

Experiment:

